

# پتانسیل جزر و مدی و تغییر شکل پوسته‌ای حاصل از آن

## مطالعه موردنی: جابجایی پوسته در ایران

علیرضا آزموده اردلان<sup>۱\*</sup> و بهنام حضرتی صومعه<sup>۲</sup>

<sup>۱</sup> استاد، گروه مهندسی نقشه‌برداری، قطب علمی مهندسی نقشه‌برداری در مقابله با سوانح طبیعی، پردیس دانشکده‌های فنی، دانشگاه تهران

<sup>۲</sup> دانش‌آموخته کارشناس ارشد هیدرولوگی مهندسی نقشه‌برداری، قطب علمی مهندسی نقشه‌برداری در مقابله با سوانح طبیعی، پردیس دانشکده‌های فنی، دانشگاه تهران

(دریافت: ۸۷/۷/۶، پذیرش نهایی: ۱۱/۱۹/۸۹)

### چکیده

در این تحقیق، بر مبنای پتانسیل جزر و مدی، تاثیر جزر و مد بر میدان گرانی، تغییر شکل پوسته زمین بر اثر نیروی جزر و مدی، و تغییرات میدان گرانی بر اثر تغییر شکل جزر و مدی پوسته ارائه گردیده است. پتانسیل جزر و مدی به سه مولفه ثابت، تناوبی نیمروزانه، و تناوبی روزانه تقسیم و تغییر شکل پوسته تحت تاثیر هر یک از این مولفه‌ها در سه راستای شعاعی، شمالی-جنوبی و شرقی-غربی محاسبه گردیده است. برای انجام محاسبات یاد شده، که روند آنرا می‌توان بصورت ذیل خلاصه نمود، نرمافزاری با قابلیت محاسبه پتانسیل جزر و مدی و تغییر شکل ناشی از آن در زمانها و مکانهای مختلف ارائه گردیده است. (۱) بکارگیری مختصات بعدی ماه و خورشید ( $\alpha, \delta$ ) و زمان برای تعیین زوایای زنتی اجرام سماوی بصورت تابعی از زمان و موقعیت بر روی زمین، (۲) محاسبه مولفه‌های تناوبی و دائمی پتانسیل جزر و مد برای نقاط واقع بر سطح زمین بر حسب زمان، (۳) محاسبه بردار جابجایی پوسته تحت تاثیر نیروی جزر و مدی در سه راستای شعاعی، شرق-غربی و شمالی-جنوبی، (۴) ارائه پتانسیل جزر و مدی و تغییر شکل حاصل از آن بصورت گرافیکی و جدولی. به عنوان مطالعه موردنی، با استفاده از نرمافزار یاد شده، پتانسیل جزر و مدی و تغییر شکل پوسته در ایران در مکانها و زمانهای مختلف محاسبه و ارائه گردیده است.

واژه‌های کلیدی: پتانسیل جزر و مدی، تغییر شکل پوسته، مولفه تناوبی روزانه، مولفه تناوبی نیمروزانه، تغییر شکل شعاعی، تغییر شکل شمالی-جنوبی، تغییر شکل شرقی-غربی

## Tidal potential and its related crustal deformation, Case study: Tide driven crustal deformation in Iran

Ardalan, A. A.<sup>1</sup>, Hazrati, B.<sup>2</sup>

<sup>1</sup> Professor, Department of Surveying and Geomatics Engineering, Center of Excellence in Surveying Engineering and Disaster Prevention, University of Tehran, Iran

<sup>2</sup> M.Sc. in Hydrography Department of Surveying and Geomatics Engineering, Center of Excellence in Surveying Engineering and Disaster Prevention, University of Tehran, Iran

(Received: 27 Sep 2008, Accepted: 8 Feb 2011)

### Abstract

Using tidal potential, the effect of tide on the gravity field, crustal deformation due to tidal force, and gravity variations resulted from the crustal deformation are presented. Tidal potential is divided into constant and periodic (diurnal and semi-diurnal) constituents, and for each constituents crustal displacements in radial, South-North, and East-West directions are computed. The aforementioned computations, which algorithmically can be summarized as follows, are implemented in a software with the capability of computing the tidal potential and the resulting crustal deformation at any time and location: (i) Using right ascension coordinates ( $\alpha, \delta$ ) of the Moon and Sun, and time, zenith angle of the celestial bodies is computed as a function of time and location on

the surface of the Earth. (ii) Constant and periodic constituents of the tidal potential are computed for the given points on Earth surface at the given times. (iii) Crustal displacements caused by the tidal force in the radial, South-North, and East-West directions are computed. (iv) The computed tidal potential constituents and the related tidal displacements are presented in both graphical and tabular formats. As the case study, using the aforementioned software, tidal potential and tidal deformation of the crust at geographical region of Iran is computed. Among the practical applications of this study and the developed software followings are outstanding: (i) Removal of the crustal deformation due to tide from the Global Navigation Satellite System (GNSS) observations. (ii) Removal of direct tidal effect from gravity observations. (iii) Removal of the indirect tidal gravity effect due to crustal deformation from the gravity observations. (iv) Removal of the direct tidal effect from the geoid. (v) Removal of indirect effect due to crustal deformation from the geoid. (vi) Removal of the tidal effects from the height systems.

**Key words:** Tidal potential, Crustal deformation, Tidal constituents, Semi Diurnal, Diurnal, Permanent tidal constituent, Radial displacement, South-North displacement, East-West displacement.

## ۱ مقدمه

خورشید بیشترین تاثیرات جزر و مدی را بوجود می‌آورند، در عمل می‌توان از اثر سایر اجرام سماوی در مقابل آنها صرفنظر نمود. اصلی‌ترین تاثیر جزر و مدی در رابطه (۱) تا درجه  $n = 2$  بوده که آن را را می‌توان بصورت ذیل نوشت (کودریافسف، ۲۰۰۳):

$$W_2(t) = \frac{3}{4} \frac{GM_s R^2}{\rho_s^3(t)} (\cos 2z + \frac{1}{3}) \quad (2)$$

بر اساس ونیچک (۱۹۷۳) حذف درجات بالاتر از دو در بسط (۱) تنها باعث  $0.003\%$  خطا در نتیجه پتانسیل محاسبه شده می‌گردد.

بر اساس مثلثات نجومی، رابطه زاویه زیستی ( $z$ ) با بعد (۸) جسم سماوی مورد رصد در مکانی به عرض ژئوستراتیک  $\varphi$  در زاویه ساعتی  $h$  بصورت ذیل می‌باشد (اوکی و همکاران ۱۹۸۲):

$$\cos z = \cosh \cos \delta \cos \varphi + \sin \delta \sin \varphi \quad (3)$$

با جایگزینی رابطه (۳) در (۲)، به رابطه ذیل موسوم به معادله جزر و مدی لاپلاس خواهیم رسید:

تغییر شکل پوسته زمین تحت تاثیر نیروی جزر و مدی را می‌توان به دو بخش تناوبی (وابسته به زمان) و دائمی (مستقل از زمان) تقسیم نمود. نیروی جزر و مدی بصورت مستقیم موجب تغییر در گرانی زمین گردیده و بعلاوه تغییر شکل پوسته تحت تاثیر نیروی جزر و مدی خود عاملی ثانویه در تغییر میدان گرانی است. بدین خاطر اطلاع از پتانسیل تولید کننده نیروی جزر مدی و نیز تغییر شکل پوسته‌ای حاصل آن برای بسیاری از مطالعات و کاربردهای ژئودزی و ژئوفیزیک مورد نیاز می‌باشد. پتانسیل جزر و مدی در نقطه‌ای مانند  $A$  بر روی سطح زمین را می‌توان به صورت زیر نوشت (کودریافسف، ۲۰۰۳):

$$W_A(t) = \sum_S GM_S \sum_{n=2}^{\infty} \frac{R^n}{\rho_S^{n+1}(t)} P_n(\cos z_S(t)) \quad (1)$$

در رابطه فوق  $G$  ثابت جهانی نیوتون،  $M_S$  جرم جسم سماوی،  $R$  و  $\rho_S$  به ترتیب فاصله ژئوستراتیک  $A$  و مرکز جرم جسم سماوی تا مرکز جرم زمین،  $P_n$  تابع لزاندر و  $(t)$  زاویه زیستی جسم سماوی از نقطه  $A$  می‌باشد. در میان اجرام سماوی، از آنجائی که ماه و

$Z$  در  $\varphi = \pm 35.27^\circ$  صفر و در قطبین دارای بیشترین مقدار است. بنابر ملاحظه می‌گردد که، بر مبنای  $S$ ،  $T$ ،  $Z$ ،  $W_2^S := DS$ ،  $W_2^T := DT$  و  $W_2^Z := DZ$  نیمروزانه تجزیه گردیده است. نکته حائز اهمیت آنکه متوسط زمانی مولفه‌های تناوبی  $S$  و  $T$  بر طبق رابطه ذیل صفر بوده در حالی که متوسط  $Z$  صفر نیست:

$$\bar{W}_2^S + \bar{W}_2^T = \frac{D}{2\pi} \int_0^{2\pi} (S + T) dh = 0 \quad (10)$$

اگر میل ماه یا خورشید را طبق رابطه (11) بر حسب زاویه میل صفحه اکلپتیک ( $\varepsilon$ ) و طول اکلپتیکی ( $L$ ) ماه و خورشید نوشته و بر روی ( $L$ ) انگرال بگیریم، با فرض ثابت بودن  $\varepsilon$ ، به رابطه (12) می‌رسیم.

$$\sin \delta_S \approx \sin \varepsilon \sin L \quad (11)$$

$$\begin{aligned} \bar{Z} &= \frac{1}{2\pi} \int_0^{2\pi} 3(\sin^2 \varphi - \frac{1}{3})(\sin^2 \delta_S - \frac{1}{3}) dL \\ &= \frac{1}{2\pi} \int_0^{2\pi} 3(\sin^2 \varphi - \frac{1}{3})(\sin^2 \varepsilon \sin^2 L - \frac{1}{3}) dL \\ &= D(\frac{1}{2} \sin^2 \varepsilon - \frac{1}{3})(3 \sin^2 \varphi - 1) \end{aligned} \quad (12)$$

رابطه (12) اولین بار توسط داروین ارائه گردید. شکل ۱ نشان دهنده تغییرات مولفه دائمی متوسط ( $\bar{Z}$ ) پتانسیل جزو مرد بر حسب عرض ژئوستراتیک ( $\varphi$ ) می‌باشد.

$$\begin{aligned} W_2(t) &= D(\cos^2 \varphi \cos^2 \delta \cos 2h \\ &\quad + \sin 2\varphi \sin 2\delta \cosh \\ &\quad + 3(\sin^2 \varphi - \frac{1}{3})(\sin^2 \delta - \frac{1}{3})) \end{aligned} \quad (4)$$

$$W_2(t) = D(S(t) + T(t) + Z) \quad (5)$$

که در آن

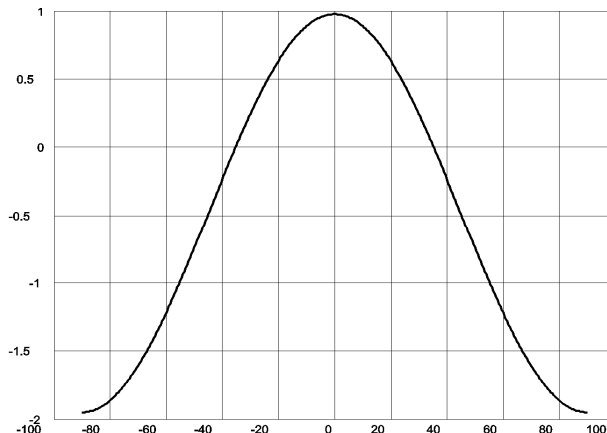
$$D = \frac{3}{4} GM_s \frac{R^2}{\rho^3} \quad (6)$$

$$S(t) = \cos^2 \varphi \cos^2 \delta \cos 2h \quad (7)$$

$$T(t) = \sin 2\varphi \sin 2\delta \cosh \quad (8)$$

$$Z = 3(\sin^2 \varphi - \frac{1}{3})(\sin^2 \delta - \frac{1}{3}) \quad (9)$$

$D$  که ثابت دودسون نامیده می‌شود برای ماه برابر  $2.63 \times 10^5$  (m.mGal) و برای خورشید برابر  $1.21 \times 10^5$  [m.mGal] است (ونیچک، ۱۹۷۳). همچنین در رابطه (5)،  $S$  مولفه سکتوریال (Sectorial) و  $T$  مولفه تسرال (Tesseral) هر دو توابعی از زاویه ساعتی ( $h$ ) بوده و بنابر این با زمان تغییر می‌کنند. مولفه  $S$  در استوا بیشترین مقدار را داشته و در قطبین صفر بوده، در حالیکه مولفه  $T$  در عرض ژئوستراتیک  $\varphi = \pm 45^\circ$  دارای بیشترین مقدار و در استوا و قطبین دارای کمترین مقدار است. در رابطه (5)  $Z$  که مولفه زونال (Zonal) نامیده می‌شود، به زمان بستگی نداشته و تنها تابعی از عرض ژئوستراتیک و میل ماه یا خورشید بوده و بدین خاطر آنرا مولفه دائمی (Permanent) نیز می‌نامند. مولفه



شکل ۱. تغییرات مولفه دائمی متوسط پتانسیل جزو مرد ( $\bar{Z}$ ) بر حسب عرض ژئوستراتیک ( $\varphi$ ).

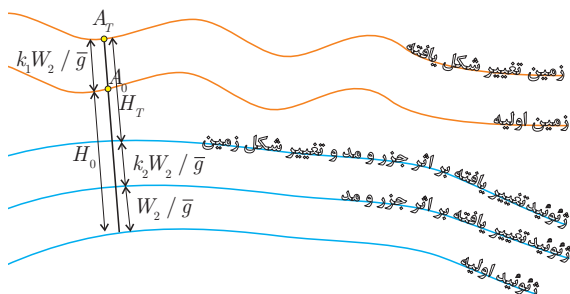
که در آن  $H_A$  ارتفاع ارتومنتریک نقطه  $A_T$  جابجا شده از نقطه  $A_0$  تحت نیروی جزر و مدي،  $W_2$  پتانسیل جزر و مدي،  $\bar{g}$  شتاب جاذبه میانگین در امتداد خط شاعولی،  $k_1$  و  $k_2$  به ترتیب اعداد اول و دوم لاو، و  $H_0$  ارتفاع ارتومنتریک نقطه  $A_0$  است. اگر معادله (۱۳) را به صورت ذیل بنویسیم، به رابطه‌ای برای تغییر شکل پوسته تحت تاثیر نیروی جزر و مدي خواهیم رسید:

$$\Delta H := H_0 - H_A = \frac{W_2}{\bar{g}} + \frac{k_2 W_2}{\bar{g}} - \frac{k_1 W_2}{\bar{g}} \quad (17)$$

$$= \frac{W_2}{\bar{g}} (1 + k_2 - k_1)$$

که با در نظر گرفتن رابطه ارتفاع ارتومنتریک با اعداد ژئوپتانسیلی  $H_A = C_A / \bar{g}$  و  $H_0 = C_0 / \bar{g}$  می‌توان از معادله (۱۴) به رابطه ذیل که نشان دهنده تغییر در پتانسیل نقطه تحت تاثیر نیروی مستقیم جزر و مدي و جابجائی ناشی از آن می‌باشد، رسید:

$$\Delta W := C_0 - C_A = W_2 (1 + k_2 - k_1) \quad (18)$$



شکل ۳. جابجائی شاععی پوسته و ژئوئید تحت تاثیر نیروی جزر و مدي.

جدول ۱ و ۲ نشان دهنده مقادیر اعداد اول و دوم لاو و عدد شیدا برای مولفه‌های مختلف جزر و مدي است (مکاری و پیتی، ۲۰۰۳).

لازم به توضیح است که روابط ارائه شده این در بخش برای یک زمین کروی الاستیک بوده و با توجه به کوچک بودن تاثیر بیضویت بر نتایج، تاکنون روابطی برای زمین بیضوی در این مورد ارائه نشده است.

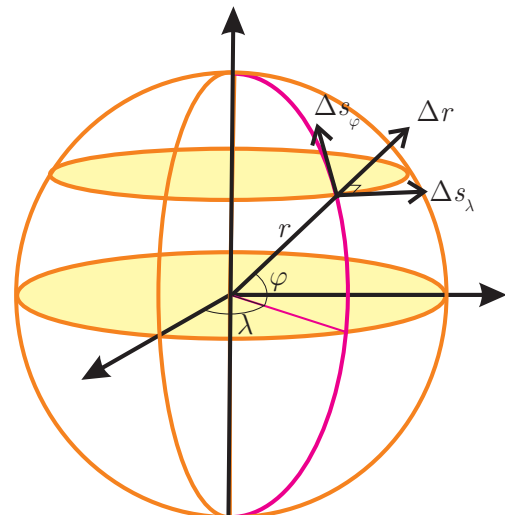
## ۲ تعیین بردار جابجایی پوسته زمین

جابجایی پوسته یک زمین کروی الاستیک تحت تاثیر نیروی جزر و مدي در امتداد شعاعی  $r$ ، در جهت  $\varphi$  و first  $\lambda$  (رجوع به شکل ۲) بر مبنای عدد اول لاو  $k_1$  (Shida number) و عدد شیدا  $l$  (Love number) می‌توان به صورت ذیل نوشت:

$$\Delta r = \frac{k_1}{g} W_2 \quad (13)$$

$$\Delta s_\varphi = \frac{l}{g} \frac{\partial W_2}{\partial \varphi} \quad (14)$$

$$\Delta s_\lambda = \frac{l}{g \cos \varphi} \frac{\partial W_2}{\partial \lambda} \quad (15)$$



شکل ۲. مولفه‌های بردار جابجایی جزر و مدي پوسته زمین.

تغییر شکل پوسته باعث تغییر در میدان گرانی گردیده که خود باعث تغییر در مکان سطوح هم‌پتانسیل خواهد شد. بنابر این در محاسبه ارتفاعات نسبت به ژئوئید این دو اثر مستقیم و غیر مستقیم نیروی جزر و مدي را لحاظ نمود. برای این منظور با توجه به شکل ۳، می‌توان برای جابجائی پوسته و ژئوئید تحت تاثیر پتانسیل مستقیم جزر و مدي و تغییر ایجاد شده معادله ذیل را تشکیل داد (پوتانز و همکاران، ۱۹۹۶):

$$H_A + \frac{k_2 W_2}{\bar{g}} + \frac{W_2}{\bar{g}} = H_0 + \frac{k_1 W_2}{\bar{g}} \quad (16)$$

در رابطه (۲۰)،  $\alpha(t)$  بعد ماه یا خورشید در لحظه  $t$  و زمان نجومی متوسط محلی است که با زمان نجومی متوسط گرینویچ (GMST) به صورت ذیل در ازباط است:

$$\text{LMST} = \text{GMST} + \lambda \quad (21)$$

در رابطه (۲۱)،  $\lambda$  طول جغرافیایی نقطه  $A$  می‌باشد. برای محاسبه GMST می‌توان از رابطه ذیل استفاده نمود (اوکی و همکاران، ۱۹۸۲؛ کاپلان، ۲۰۰۵):

$$\begin{aligned} \text{GMST} = & 100.46061837 + 36000.770053608T \\ & + 0.000387933T^2 - T^3 / 38710000 \end{aligned} \quad (22)$$

در رابطه فوق  $T = (\text{JD} - 2451545) / 36525$  و  $\text{JD} = (\text{JD} - 2451545) / 36525$  تاریخ ژولین است. با قرار دادن رابطه (۲۲) در رابطه (۷) برای مولفه  $S$  داریم:

$$W_2^S = D(\cos^2 \varphi \cos^2 \delta \cos 2(\text{GMST} + \lambda - \alpha(t))) \quad (23)$$

به طور مشابه برای  $W_2^T$  با توجه به رابطه (۸) داریم:

$$W_2^T = D(\sin 2\varphi \sin 2\delta \cos(\text{GMST} + \lambda - \alpha(t))) \quad (24)$$

اگر از روابط (۲۳)، (۲۴) و (۹) نسبت به  $(\varphi, \lambda)$  مشتق بگیریم، پس از ساده کردن به مولفه‌های بردار جابجایی مندرج در جدول ۳ خواهیم رسید:

**۳ محاسبه بردار جابجایی جزر و مدی پوسته در ایران**  
با در دست داشتن روابط مربوط به تغییر شکل پوسته بر اثر نیروی جزر و مدی، در این بخش نتایج محاسبه صورت گرفته برای پوسته زمین در منطقه جغرافیائی ایران ارائه خواهد شد. شکل ۴ و ۵ نشان دهنده جابجایی جزر و مدی پوسته (بر حسب سه مولفه  $\Delta r$ ،  $\Delta s_\varphi$  و  $\Delta s_\lambda$ ) در دو نقطه به مختصات ( $\varphi = 27^\circ, \lambda = 62^\circ$ ) در سیستان و بلوچستان و ( $\varphi = 39^\circ, \lambda = 45^\circ$ ) در آذربایجان غربی، در طی ۱۵ روز در سال ۲۰۰۴ در فواصل زمانی ۱ ساعته،

جدول ۱. عدد دوم لاو برای ضرایب مختلف بسط پتانسیل (مکارتی و پتیت، ۲۰۰۳).

$n$	$m$	$k_{2nm}$
2	0	0.29525
2	1	0.29470
2	2	0.29801
3	0	0.093
3	1	0.093
3	2	0.093
3	3	0.094

جدول ۲. عدد اول لاو  $k_1$  و عدد شیدا  $l$  برای فرکانس‌های اصلی جزر و مدی (مکارتی و پتیت، ۲۰۰۳).

	Tidal constituent	$h$	$k_1$
Semidiurnal	$M_2$		
	$S_2$	0.6078	0.0847
	$N_2$		
Diurnal	$Q_1$	0.6036	0.0846
	$O_1$	0.6028	0.0846
	$P_1$	0.5817	0.0853
	$K_1$	0.5236	0.0870
Long period	$S_{sa}$	0.6182	0.0886
	$M_m$	0.6126	0.0870
	$M_f$	0.6109	0.0864

مقادیر مورد استفاده در محاسبات مقادیر متوسط  $k_2$ ،  $k_1$  و  $l$  به شرح ذیل است:

$$\begin{aligned} k_1 &= 0.6 \\ k_2 &= 0.298 \\ l &= 0.085 \end{aligned} \quad (19)$$

روابط (۱۳) الی (۱۵) را همچنین می‌توان برای هر سه مولفه پتانسیل جزر و مد مشخص شده در رابطه (۵) بصورت مجزا محاسبه نمود. برای این منظور از با توجه به وابستگی روابط (۱۳) و (۱۴) به زاویه ساعتی  $h$  تساوی ذیل را در نظر می‌گیریم:

$$h = \text{LMST} - \alpha(t) \quad (20)$$

مولفه‌های بردار جابجایی ناشی از  $W_2^T + W_2^S$  در دو نقطه یاد شده در جدول ۴ آورده شده است.

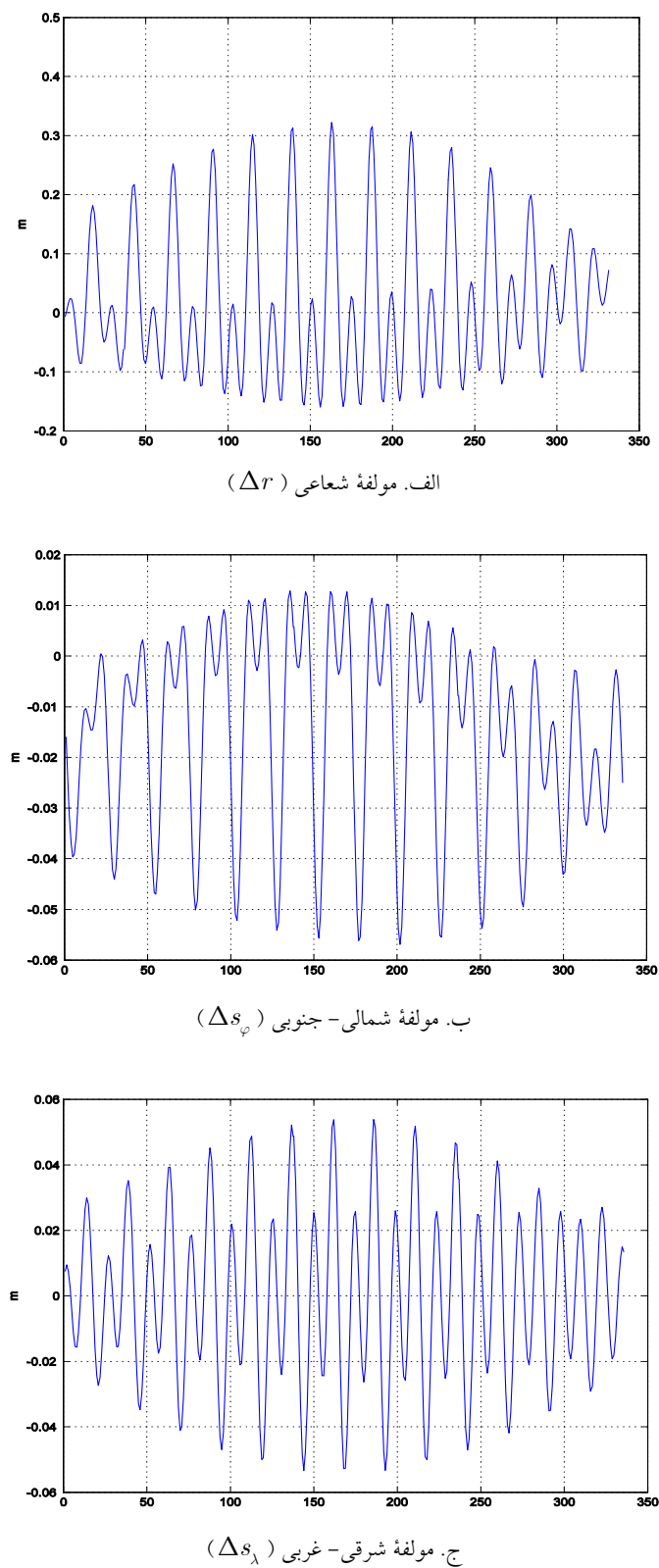
تحت تاثیر حاصل جمع مولفه‌های متناوبی نیم‌روزانه و روزانه جزر مدی ( $W_2^T + W_2^S$ ) است. بیشینه و کمینه

جدول ۳. مولفه‌های بردار جابجایی برای مولفه‌های نیم‌روزانه، روزانه و دائمی پتانسیل جزر و مد در رابطه.

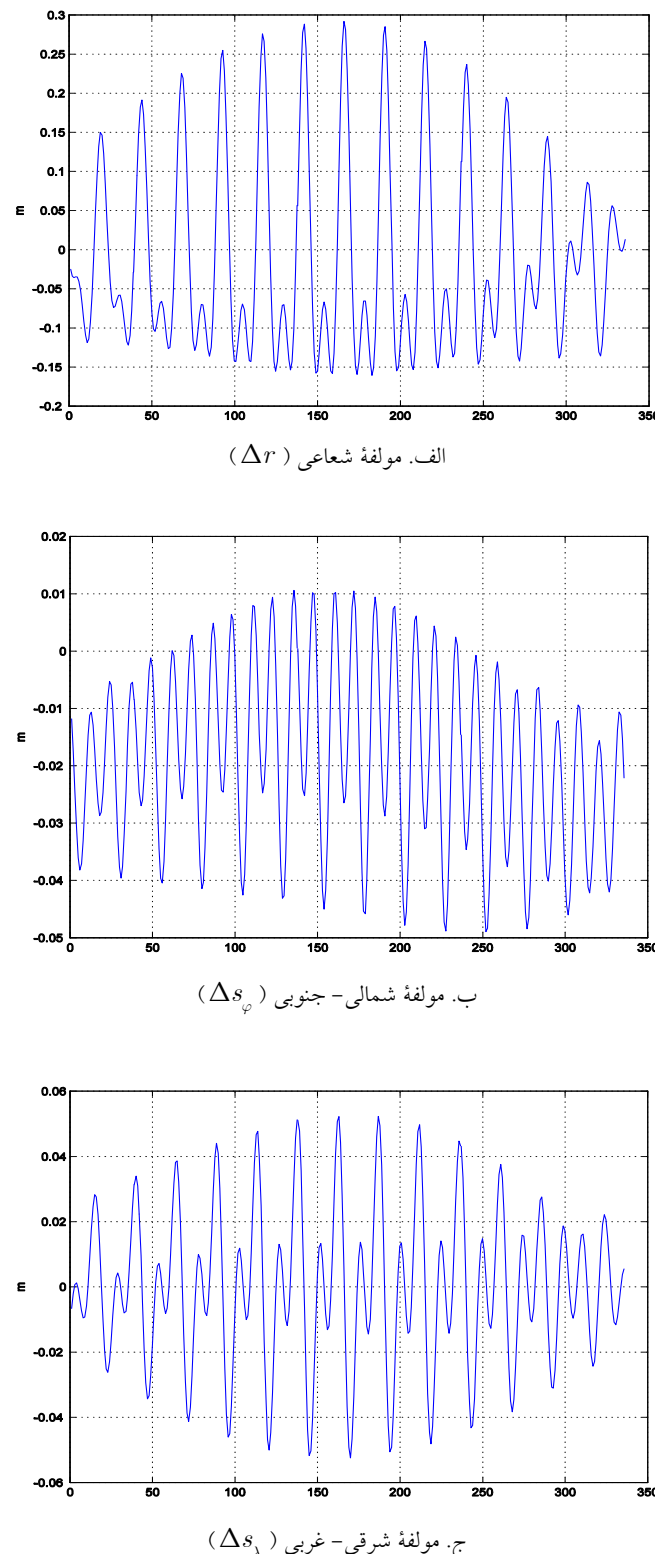
مولفه‌های جزو مدی	جابجایی پوسته
$\Delta r$ (جابجایی شعاعی)	
( $W_2^S$ نیم‌روزانه)	$\frac{k_1}{g} D(\cos^2 \phi \cos^2 \delta \cos 2h)$
( $W_2^T$ روزانه)	$\frac{k_1}{g} D(\sin 2\phi \sin 2\delta \cos h)$
( $W_2^Z$ دائمی)	$3 \frac{k_1}{g} D(\sin^2 \phi - \frac{1}{3})(\sin^2 \delta - \frac{1}{3})$
$\Delta s_\varphi$ (جابجایی شمالی-جنوبی)	
( $W_2^S$ نیم‌روزانه)	$-\frac{l}{g} D \sin 2\phi \cos^2 \delta \cos 2h$
( $W_2^T$ روزانه)	$2 \frac{l}{g} D \cos 2\phi \sin 2\delta \cos h$
( $W_2^Z$ دائمی)	$3 \frac{l}{g} D \sin 2\phi (\sin^2 \delta - \frac{1}{2})$
$\Delta s_\lambda$ (جابجایی شرقی-غربی)	
( $W_2^S$ نیم‌روزانه)	$-2 \frac{l}{g} D \cos \phi \cos^2 \delta \sin 2h$
( $W_2^T$ روزانه)	$-2 \frac{l}{g} D \sin \phi \sin 2\delta \sin h$
( $W_2^Z$ دائمی)	0

جدول ۴. مقادیر بیشینه و کمینه مولفه‌های بردار جابجایی ناشی از  $W_2^T + W_2^S$  در دو نقطه یاد شده در آذربایجان غربی و سیستان و بلوچستان.

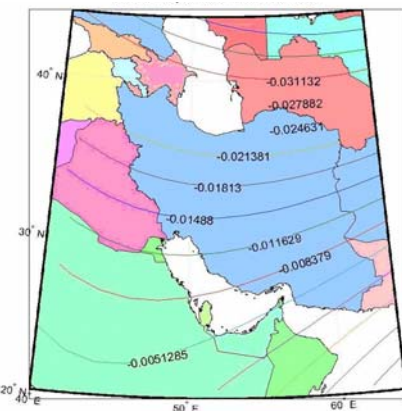
آذربایجان غربی			
	$\Delta r$	$\Delta s_\lambda$	$\Delta s_\varphi$
Max.	0.298	0.052	0.023
Min.	-0.15	-0.05	-0.03
سیستان و بلوچستان			
	$\Delta r$	$\Delta s_\lambda$	$\Delta s_\varphi$
Max.	0.306	0.054	0.023
Min.	-0.17	-0.05	-0.04



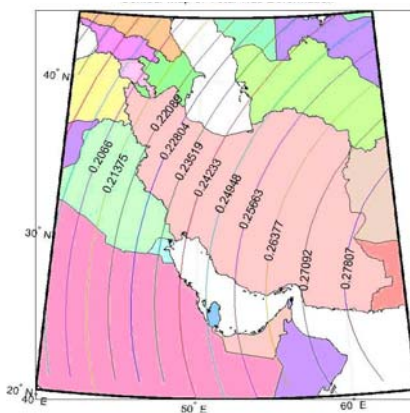
شکل ۴. تغییرات شکل پوسته بر حسب متر، تحت تأثیر مجموع مولفه‌های روزانه و نیم روزانه ( $W_2^T + W_2^S$ ) در نقطه‌ای به مختصات ( $\varphi = 27^\circ, \lambda = 62^\circ$ ) در سیستان و بلوچستان.



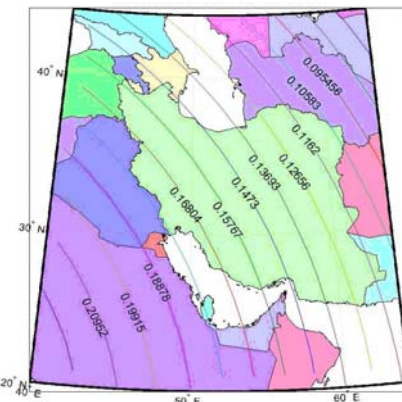
شکل ۵. تغییرات شکل پوسته بر حسب متر، تحت تاثیر مجموع مولفه‌های روزانه و نیم روزانه ( $W_2^T + W_2^S$ ) در نقطه‌ای به مختصات  $(\varphi = 39^\circ, \lambda = 45^\circ)$  در آذربایجان غربی.



شکل ۷. جابجایی قائم پوسته ایران برای ساعت am ۱۰:۰۰ روز ۲۰۰۴/۱/۲.



شکل ۸. جابجایی قائم پوسته ایران برای ساعت pm ۰۷:۰۰ روز ۲۰۰۴/۱/۳.



شکل ۹. جابجایی قائم پوسته ایران برای ساعت am ۲۰:۰۰ روز ۲۰۰۴/۱/۱۱.

#### ۴ نتیجه‌گیری

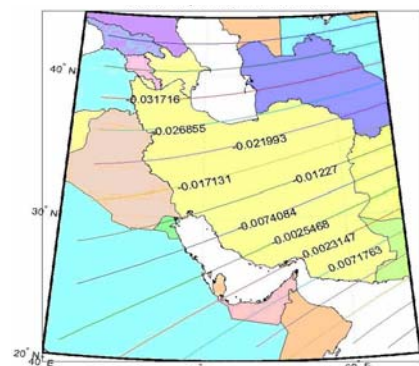
تجزیهٔ پتانسیل جزر و مدی به مولفه‌های دائمی، تناوبی نیم‌روزانه، و تناوبی روزانه ارائه و برای هر یک از این

جدول ۵ حاوی مقادیر مختلف مولفه‌های شعاعی ( $\Delta r$ ) و شمال-جنوبی ( $\Delta s_\varphi$ ) تغییر شکل پوسته تحت تاثیر مولفه دائمی جزر و مد ( $W_2^Z$ ) بر حسب عرض‌های ژئوستراتیک گوناگون است. مقادیر این جدول می‌توانند بعنوان تصحیحی ثابت بر روی مختصات ژئوستراتیک نقاط واقع بر سطح زمین اعمال گردند.

جدول ۵. مولفه‌های شعاعی ( $\Delta r$ ) و شمال-جنوبی ( $\Delta s_\varphi$ ) تغییر شکل پوسته تحت تاثیر مولفه دائمی جزر و مد ( $W_2^Z$ )

$\varphi^\circ$	(m) $\Delta s_\varphi$	(m) $\Delta r$
24	-0.0122	0.0237
25	-0.0126	0.0219
26	-0.0129	0.0199
27	-0.0133	0.018
28	-0.0136	0.0159
29	-0.0139	0.0139
30	-0.0142	0.0118
31	-0.0145	0.0096
32	-0.0147	0.0074
33	-0.0150	0.0052
34	-0.0152	0.0029
35	-0.0154	0.0006
36	-0.0156	-0.0017
37	-0.0158	-0.0041
38	-0.0159	-0.0064

همچنین مولفه جابجایی قائم پوسته زمین در منطقه جغرافیائی ایران بر روی شبکه‌ای منظم به ابعاد  $2^\circ \times 1^\circ$  در زمانهای گوناگون محاسبه و در اشکال ۱۱ تا ۱۸ نمایش داده شده‌اند.



شکل ۶. جابجایی قائم پوسته ایران برای ساعت am ۱:۰۰ روز ۲۰۰۴/۱/۱.

مولفه‌ها جابجایی پوسته زمین (با فرض عکس العمل الاستیک) در سه راستای شعاعی، شمال-جنوبی، و شرقی-غربی محاسبه گردید. روابط ارائه شده به عنوان نمونه برای محاسبه تغییرات پوسته ایران در ایران بکار برده شد. از جمله کاربردهای عملی این تحقیق می‌توان به موارد ذیل اشاره نمود: (۱) حذف اثر جزر و مدار از روی Global Navigation Satellite Systems مشاهدات (GNSS). (۲) حذف اثر مستقیم جزر و مدار از مشاهدات گرانی. (۳) حذف اثر غیر مستقیم تغییر در گرانی زمین به خاطر جابجایی جزر و مدار پوسته. (۴) حذف جابجایی ارتفاعی ژئوئید تحت اثر مستقیم جزر و مدار. (۵) حذف جابجایی ارتفاعی ژئوئید بخاطر تغییر در گرانی زمین بر اثر جابجایی جزر و مدار پوسته.

نرم‌افزار تهیه شده در این تحقیق می‌تواند به سهولت هر یک از اثرات یاد شده را برای هر نقطه یا منطقه‌ای از زمین در هر زمان یا بازه زمانی محاسبه و به صورت عددی یا گرافیکی در اختیار کاربر قرار دهد.

## منابع

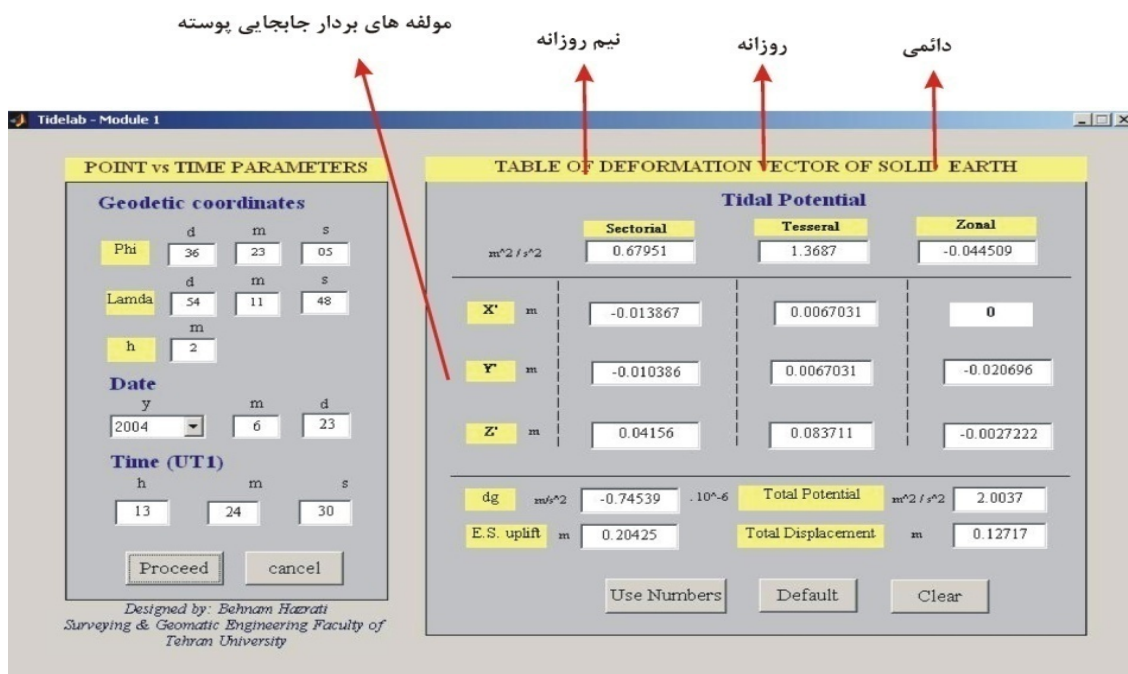
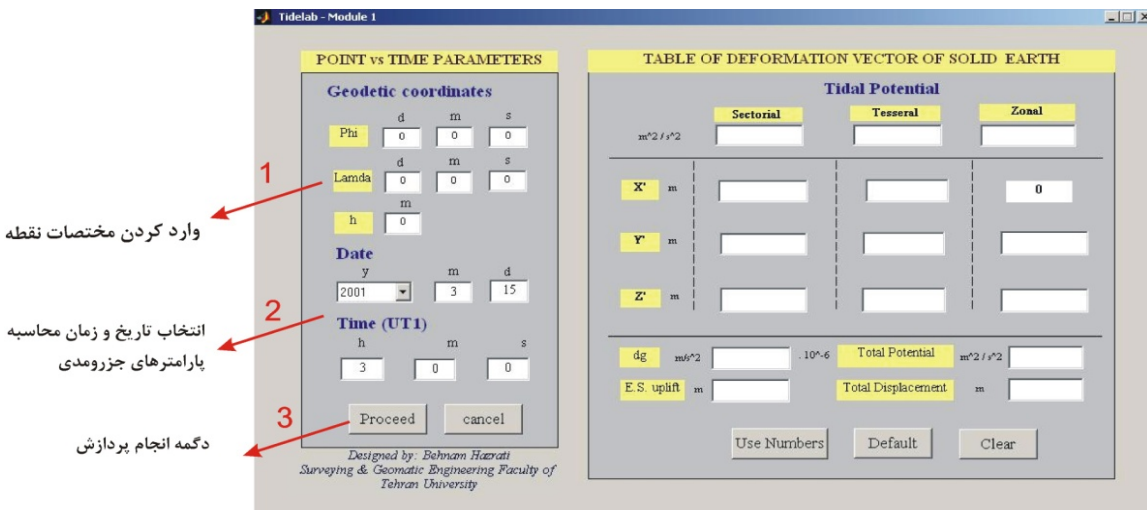
- Aoki, S., Guinot, B., Kaplan, G. H., Kinoshita, H., McCarthy, D. D. and Seidelmann, P. K., 1982, The New Definition of Universal Time, *Astron. Astrophys.*, **105**, 359-361.
- Kaplan, G. H., 2005, The IAU Resolutions on Astronomical Reference Systems, Time Scales, and Earth Rotation Models, U.S. Naval Observatory Circular, No. 179.
- Kudryavtsev, S. M., 2004, Improved harmonic development of the Earth tide-generating potential, *Journal of Geodesy*, **77**(12), 829-838.
- Poutanen, M., Vermeer, M., Mäkinen, J., 1996, The permanent tide in GPS positioning, *Journal of Geodesy*, **70**(8), 499-504.
- McCarthy, D. D., Petit, G. (eds.), 2003, IERS Conventions, International Earth Rotation and Reference Systems Service, technical notes, No. 32.
- Vanicek, P., THE EARTH TIDES, 1973, Department of Surveying Engineering, University of New Brunswick, Lecture notes, No. 36.

### ضمیمه

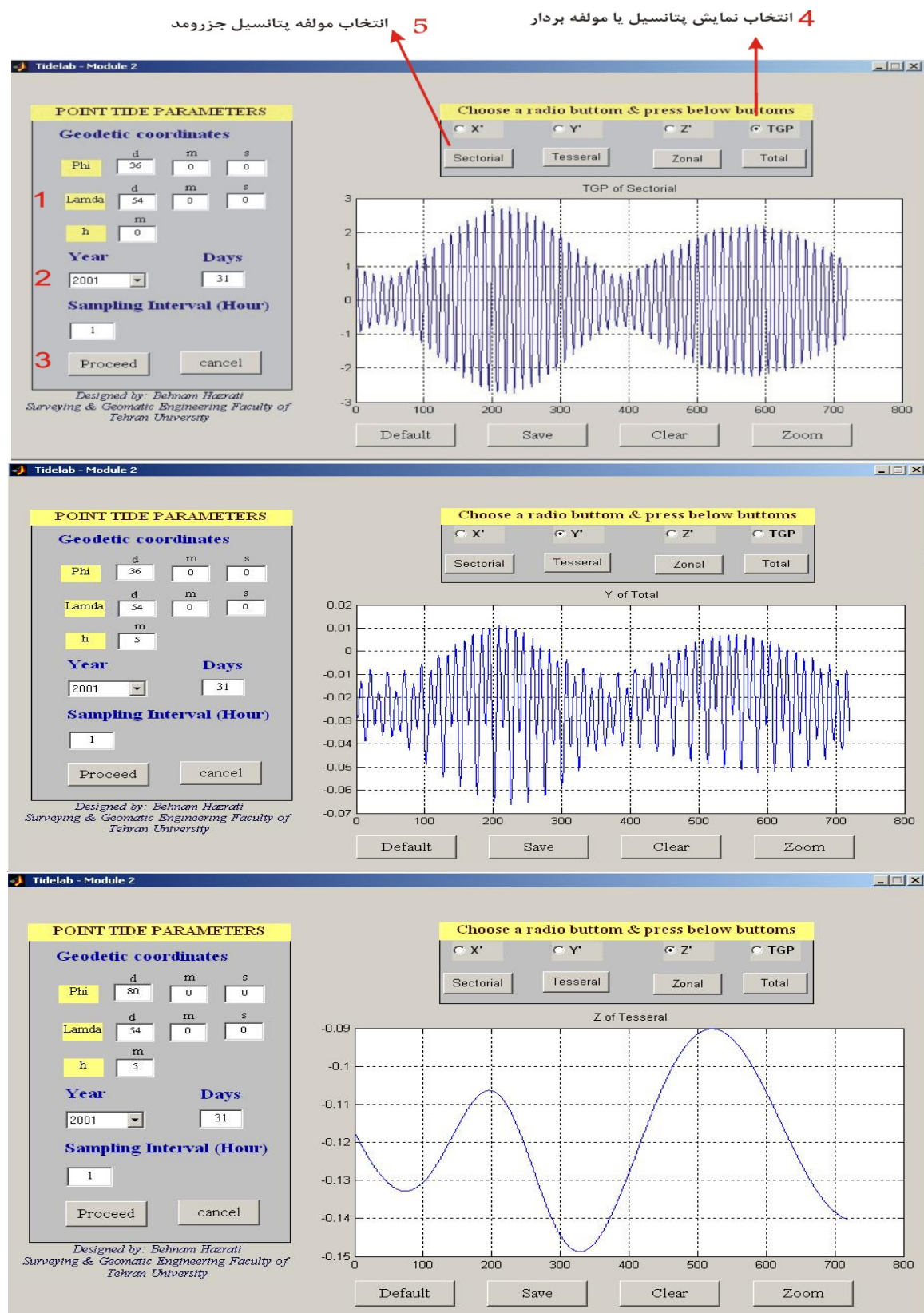
#### معرفی نرم‌افزار Tidelab

برای سهولت استفاده، مختصات بعدی ماه و خورشید در پایگاه داده این نرم‌افزار قرار داده شده است. این نرم‌افزار دارای سه بخش مختلف بوده که در شکل‌های ۱۰ تا ۱۴ به صورت گرافیکی به اختصار معرفی شده‌اند.

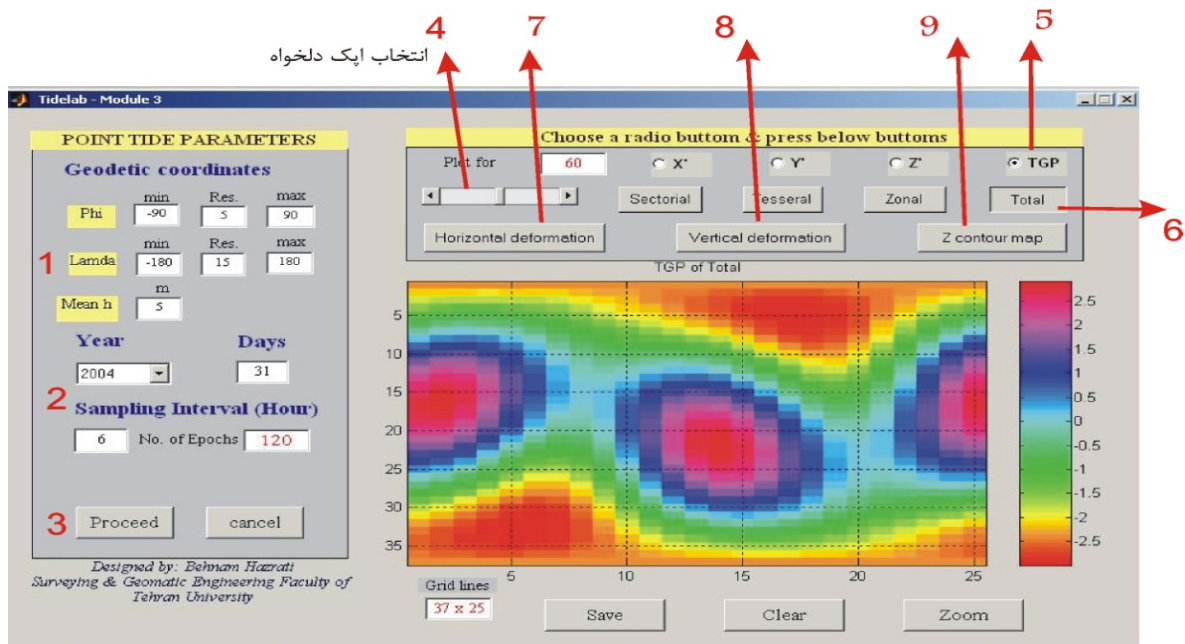
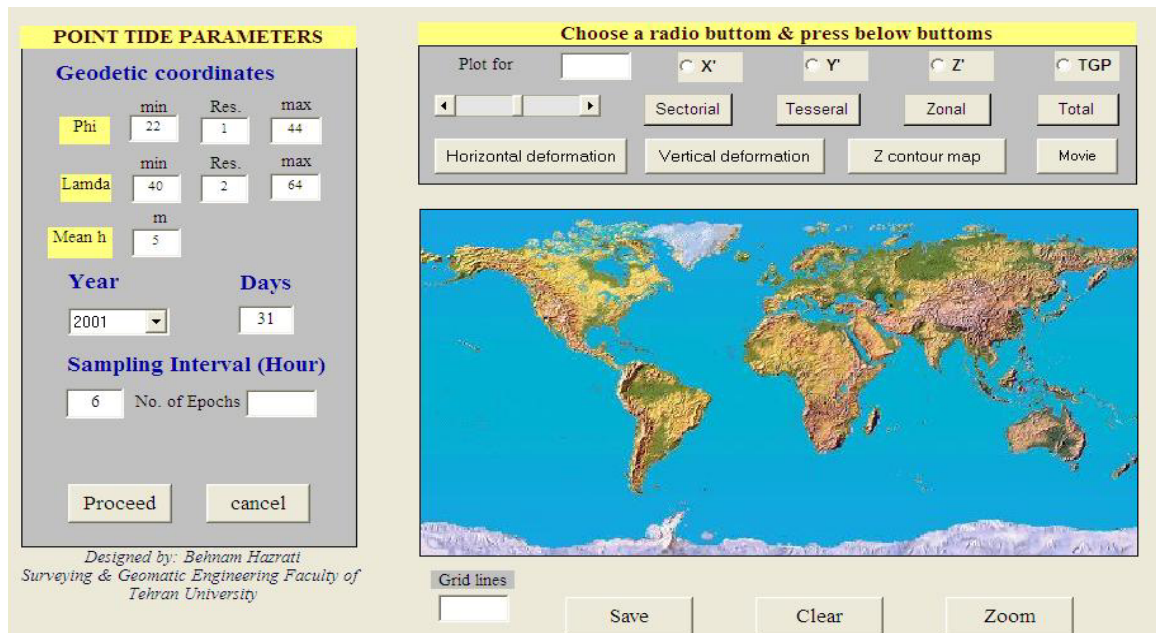
به منظور سهولت در محاسبه پتانسیل جزر و مدی و تغییر شکل پوسته تحت تأثیر این اثر در هر نقطه دلخواه بر روی سطح زمین، اقدام به تهیه نرم‌افزاری تحت نام Tidelab در محیط Matlab گردید که در این بخش به اختصار در قابل پنجره‌های ورودی و خروجی داده‌ها معرفی می‌گردد.



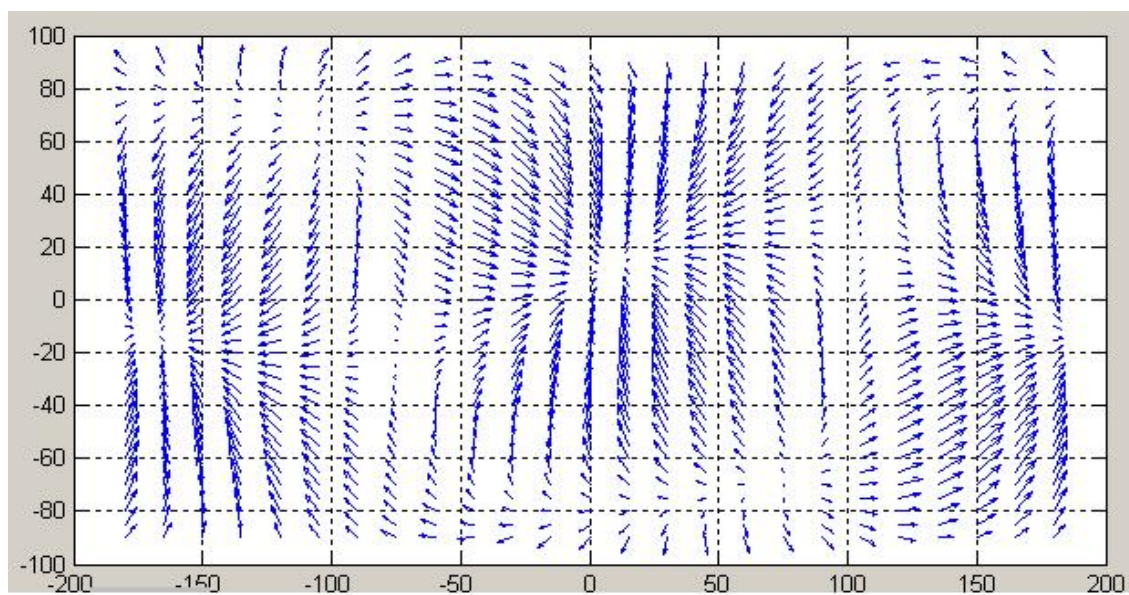
شکل ۱۰. منوی تعیین بردار جابجایی برای یک نقطه در یک اپوک.



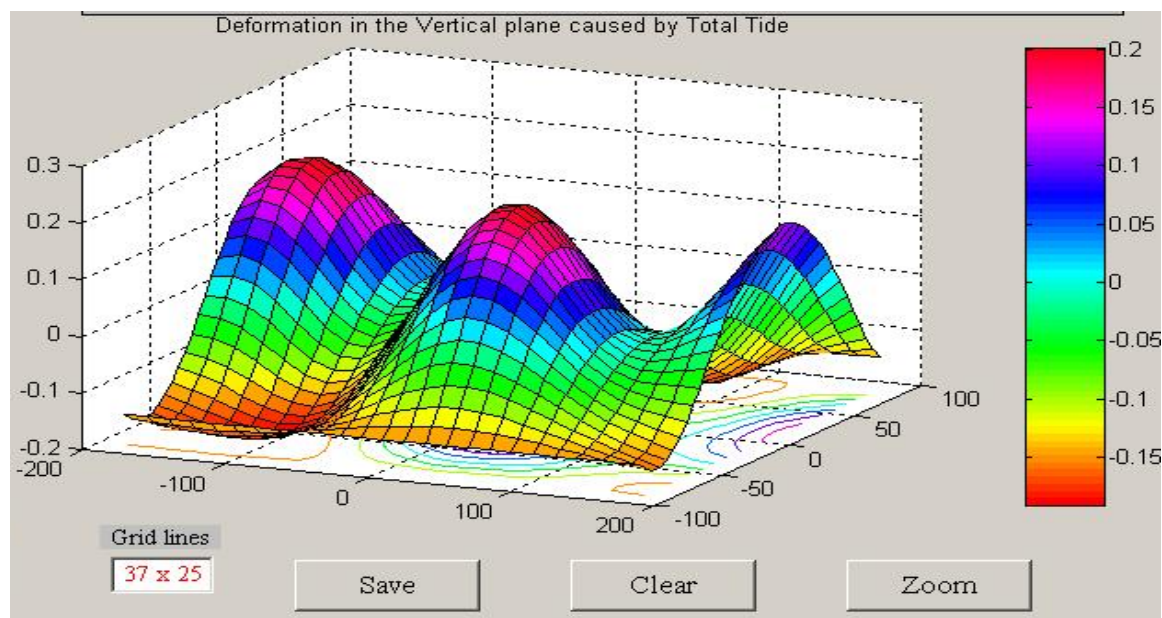
شکل ۱۱. منوی تعیین بردار جابجایی برای یک نقطه در یک بازه زمانی.



شکل ۱۲. منوی اولیه تعیین بردار جابجایی برای شبکه جهانی ( $\varphi = -90^\circ : 5 : 90^\circ, \lambda = -180^\circ : 15 : 180^\circ$ ) در بازه زمانی ۳۱ روز اول سال ۲۰۰۴ با ترکیب کلیدهای ۵ و ۶ برنامه.



شکل ۱۳. بردار جابجایی مسطحاتی برای شبکه جهانی ( $180^\circ : 15^\circ : 5^\circ : 90^\circ, \lambda = -180^\circ : 15^\circ : 180^\circ, \varphi = -90^\circ$ ) در بازه زمانی ۳۱ روز اول سال ۲۰۰۴ با ترکیب کلیدهای ۶ و ۷ برنامه.



شکل ۱۴. بردار جابجایی قائم برای شبکه جهانی ( $180^\circ : 15^\circ : 5^\circ : 90^\circ, \lambda = -180^\circ : 15^\circ : 180^\circ, \varphi = -90^\circ$ ) در بازه زمانی ۳۱ روز اول سال ۲۰۰۴ با ترکیب کلیدهای ۶ و ۸ برنامه.